

ВЗАИМОДЕЙСТВИЕ ПОРШНЕВОГО КОЛЬЦА И ВТУЛКИ ЦИЛИНДРА ДВС С УЧЕТОМ ОТКЛОНЕНИЙ ФОРМЫ

© 2006 А.С. Столяров

Санкт-Петербургский Государственный морской технический университет

Разработана методика, учитывающая произвольные отклонения эпюры давлений кольца и формы цилиндра, смешанный режим трения и эффект масляного голодания.

Прилегание поршневого кольца к втулке цилиндра и распределение давления в реальности, как правило, значительно отличается от идеального представления.

Отклонения формы втулки цилиндра обуславливаются погрешностями при изготовлении, износом, деформациями втулки, возникающими при установке (особенно при запрессовке в моноблок) и при работе двигателя от температуры и от внутреннего давления.

Отклонения эпюры давлений кольца в цилиндре номинального диаметра обуславливаются погрешностями при изготовлении, неравномерностью модуля упругости материала, воздействием высокой температуры, изнашиванием кольца.

По этим причинам отклонения формы цилиндра и эпюры давлений поршневого кольца могут быть значительными и способны оказывать влияние на пропуск газов и расход масла, а также на износ и силу трения. Чтобы оценить эти влияния, была разработана программа, моделирующая работу поршневого кольца с учетом неравномерного распределения параметров по окружности.

Расчеты прилегания колец в цилиндрах с увеличенным или уменьшенным диаметром и овальностью, а также износа и приспособляемости колец подробно описаны Б.Я. Гинцбургом [1].

Расчет работы кольца в цилиндро-поршневой группе в условиях гидродинамической смазки с совместным решением двумерного уравнения Рейнольдса и уравнения упругой линии кольца выполнил Э.М. Мохнаткин [3].

Целью данной работы является разработка методики, учитывающей произволь-

ные отклонения эпюры давлений кольца и формы цилиндра, смешанный режим трения и эффект масляного голодания.

Форма упругой линии кольца определяется решением дифференциального уравнения [1]

$$u + \frac{d^2 u}{d\varphi^2} = M \frac{r^2}{EJ}, \quad (1)$$

где: u – радиальное перемещение упругой линии кольца, направленное внутрь, M – изгибающий момент, E – модуль упругости материала кольца, J – момент инерции сечения кольца, φ – угловая координата, r – радиус нейтральной линии сечения кольца:

$$r = D / 2 - h_c, \quad (2)$$

где D – номинальный диаметр цилиндра, h_c – расстояние от центра тяжести сечения до наружной кромки кольца.

Уравнение (1) аппроксимируется конечно-разностной схемой

$$\frac{u_{i-1} - u_i (2 - \Delta\varphi^2) + u_{i+1}}{\Delta\varphi^2} = \frac{r^2}{EJ} M_i. \quad (3)$$

Изгибающий момент определяется по формуле [3] (рис. 1)

$$M(\varphi) = B r (r + h_c) \int_0^\varphi p(\alpha) \sin(\varphi - \alpha) d\alpha, \quad (4)$$

где B – высота кольца, p – приведенное давление на поверхность кольца.

Значения момента в узлах M_i определяются численным интегрированием:

$$M_i = B r (r + h_c) \cdot \left[\frac{p_i}{2} \sin\left(\left(i - \frac{1}{4}\right)\Delta\varphi\right) + \frac{p_i}{2} \sin\left(\frac{\Delta\varphi}{4}\right) + \sum_{k=1}^{i-2} p_k \sin((i-k)\Delta\varphi) \right]. \quad (5)$$

Дополнительно требуется установить граничные условия равновесия эпюры давлений

$$\int_0^{2\pi} p(\varphi) \sin(\varphi) d\varphi = 0 \text{ и}$$

$$\int_0^{2\pi} p(\varphi) \cos(\varphi) d\varphi = 0. \quad (6)$$

Первое условие может быть также интерпретировано как равенство нулю моментов на концах кольца.

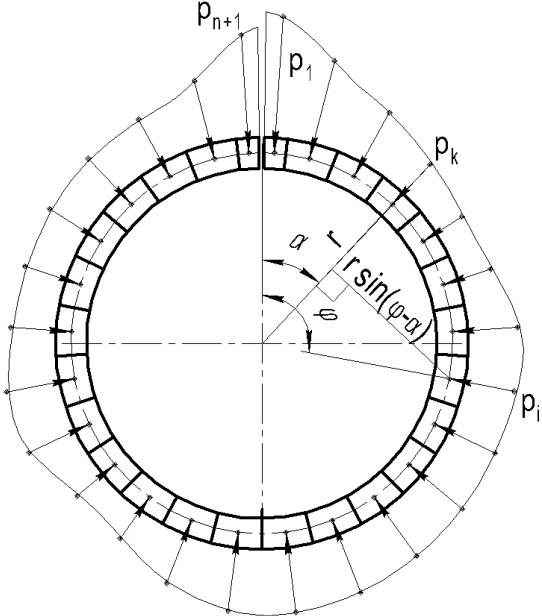


Рис.1. Эпюра давлений на кольцо

Система уравнений упругой линии кольца совместно с граничными условиями может быть записана в матричной форме

$$[a_{i,j}] \{u_i\} = e [b_{i,j}] \{p_i\}, \quad (7)$$

$$\text{где: } d = \frac{\Delta\varphi^2 r^3 (r + h_c) B}{EJ}, \quad (8)$$

$\{u_i\}$ - вектор-столбец перемещений в узлах $i=0 \dots n+2$. Элементы u_0 и u_{n+2} - фиктивные.

$[a_{i,j}]$ - диагональная матрица размерностью $(n+1) \times (n+1)$:

$$a_{i,j} = \begin{bmatrix} 1 & \Delta\varphi^2 - 2 & 1 & 0 & 0 \\ 0 & 1 & \Delta\varphi^2 - 2 & 1 & 0 \\ 0 & 0 & 1 & \Delta\varphi^2 - 2 & 0 \\ 0 & 0 & 0 & 0 & 1 \\ 0 & 0 & 0 & 0 & 0 \\ 0 & 0 & 0 & 0 & 0 \end{bmatrix}, \quad (9)$$

$[b_{i,j}]$ - матрица размерностью $(n+1) \times (n+1)$:

$$b_{i,j} = \begin{bmatrix} 0 & 0 & 0 \\ \frac{1}{2} \sin\left(\frac{3\Delta\varphi}{4}\right) & \frac{1}{2} \sin\left(\frac{\Delta\varphi}{4}\right) & 0 \\ \frac{1}{2} \sin\left(\frac{7\Delta\varphi}{4}\right) & \sin(\Delta\varphi) & 0 \\ \frac{1}{2} \sin\left(\frac{11\Delta\varphi}{4}\right) & \sin(2\Delta\varphi) & 0 \\ \frac{1}{2} \sin\left(\left(i - \frac{1}{4}\right)\Delta\varphi\right) & \sin((i-j)\Delta\varphi) & \frac{1}{2} \sin\left(\frac{\Delta\varphi}{4}\right) \\ \frac{1}{2} \cos\left(\frac{\Delta\varphi}{4}\right) & \cos((j-1)\Delta\varphi) & \frac{1}{2} \cos\left(\frac{\Delta\varphi}{4}\right) \\ \frac{1}{2} \sin\left(\frac{\Delta\varphi}{4}\right) & \sin((j-1)\Delta\varphi) & -\frac{1}{2} \sin\left(\frac{\Delta\varphi}{4}\right) \end{bmatrix}. \quad (10)$$

Давление в узле p_i является нелинейной функцией минимального зазора $\delta \min_i$ между кольцом и поверхностью втулки цилиндра. Если форма цилиндра описывается массивом $u0_i$, то

$$\delta \min_i = u_i - u0_i. \quad (11)$$

Зависимость p_i от $\delta \min_i$ рассматривается ниже. Поскольку система (7) является нелинейной, она решается методом Ньютона.

Приведенное радиальное давление p на элемент кольца является отношением равнодействующей сил, приложенных к элементу, к его наружной площади. На элемент в плоскости кольца действуют следующие силы (рис.1): давления газов над, под и за кольцом p_{z1}, p_{z2}, p_{z3} , сила упругости кольца p_{yup} , гидродинамическое давление масляного клина (соответствующее удельное усилие, отнесенное к окружности кольца, обозначается P_n) и сила контактного взаимодействия кольца с втулкой (удельная сила обозначается P_a).

В итоге суммарное удельное давление усилия, действующего на элемент кольца p_i , отнесенное к произведению длины окружности и высоты кольца $\pi \cdot D \cdot B$,

$$p_i = \left[(p_{z3} + p_{yup})(B_1 + B_2) - p_{z1}(B_1 - x_1) - p_{z2}(B_2) - P_n - P_a \right] / B. \quad (12)$$

Профиль кольца описывается двумя параболами, которые задаются параметрами B_1, B_2, H_1, H_2 , (рис.2)

$$h(x) = x^2 \frac{H_k}{B_k^2}, \quad k=1, 2. \quad (13)$$

Исходный профиль современных поршневых колец, как правило, имеет значительную бочкообразность. В процессе износа профиль спрямляется, по краям образуются скругления. Принятая зависимость соответствует неизношенному кольцу с несимметричным бочкообразным профилем. Кроме того, такая форма позволяет использовать аналитическое решение гидродинамической и аппроксимацию решения контактной задач.

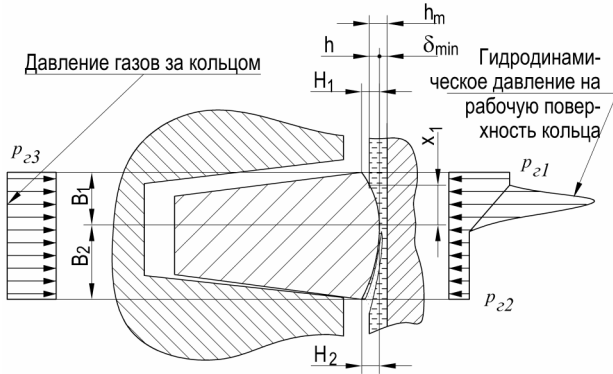


Рис.2. Сечение кольца и усилия, действующие на элемент

Гидродинамическая реакция определяется из одномерного уравнения Рейнольдса. Точное решение уравнения Рейнольдса получено для параболического профиля кольца с условием обрыва масляного клина в точке минимального зазора. Координаты начала масляного клина x_1 , h определяются по условию масляного голодания и зависят от разности толщины масляного слоя h_m и минимального зазора кольца с втулкой δ_{min} .

Выражение для поддерживающей гидродинамической силы

$$P_n = \frac{V \mu x_1^2}{\delta^2} A(\arctg(k)(k^2 - 1) + k) + \frac{2}{3} A \frac{U \mu x_1^3}{\delta^3} \frac{1}{k^3} \left[(1 + k^2)^2 \arctg^2(k)^2 + \left(2k^3 + \frac{2}{3}k \right) \arctg(k) - \frac{4}{3}k^4 - \frac{5}{3}k \right] + A x_1 \left[p_1(1 + k^2)^2 \arctg(k) + \frac{k}{3}(k^2(2p_2 + p_1) + 4p_2 + p_1) \right], \quad (14)$$

где V – скорость поступательного движения поршня, U – «скорость сдвливания» масля-

ной пленки, μ – коэффициент динамической вязкости масла

$$U = -\frac{d\delta_{min}}{dt}, \quad (15)$$

$$k = \sqrt{\frac{h}{\delta}}, \quad (16)$$

$$A = \frac{1}{k^3 + (1 + k^2)^2 \arctg(k) + \frac{5}{3}k}. \quad (17)$$

Выражение для гидродинамической составляющей силы трения

$$P_t = \frac{2V \mu x_1}{\delta} \frac{1}{k} A \cdot \left((1 + k^2)^2 \arctg^2(k) + \frac{4}{3}k \arctg(k) - k^2 \right) - \frac{U \mu x_1^2}{\delta^2} A(\arctg(k)(k^2 - 1) + k) - \frac{2}{3} A(p_1 - p_2) \delta(1 + k^2) \cdot (\arctg(k)(1 + k^2) + k). \quad (18)$$

Усилие контактного взаимодействия кольца с втулкой P_a определяется в зависимости от δ_{min} и приведенной шероховатости σ по теории Гринвуда и Трипа, которая подразумевает гауссово распределение высот выступов шероховатости, постоянный радиус кривизны вершин симметричных выступов и их упругие деформации [5].

Согласно этой теории, удельное усилие, воспринимаемое шероховатостью, на единицу ширины поверхности с цилиндрическим номинальным профилем с длиной образующей B

$$P_a = \frac{16}{15} \sqrt{2\pi} \eta^2 \beta_R^2 \sigma^2 E' \sqrt{\frac{\sigma}{\beta}} \int_0^B F_{5/2} \left(\frac{\delta}{\sigma} \right) dx, \quad (19)$$

где: E' – приведенный модуль Юнга, β_R – радиус кривизны шероховатости, η – плотность шероховатости; $F_{5/2}$ – функция гауссова распределения шероховатости

$$F_{5/2}(H) = \frac{1}{\sqrt{2\pi}} \int_H^\infty (s - H)^5 e^{-\frac{s^2}{2}} ds. \quad (20)$$

$$\text{Сила трения} \quad P_{mp} = A_r \tau_0 + P_a \beta, \quad (21)$$

где: β и τ_0 – характеризуют две составляющих касательных напряжений на фактической площади контакта: τ_0 – постоянную, а β

- пропорциональную нагрузке, A_r – фактическая площадь касания микронеровностей.

В большинстве работ [5], [6] используются следующие значения параметров поверхности поршневых колец и кулачков: $\eta\beta_{R\sigma}=0,05$; $\sigma/\beta_R E'=2,3*10^{11}$ Па; $\tau_0=2*10^6$ Па; $\beta=0,08$.

Ввиду малой величины касательных напряжений на фактической площади контакта $\tau_0=2*10^6$ Па при граничном трении (для сравнения при сухом контакте стали 45 твердостью НВ 270 с синтетическим алмазом $\tau_0=204*10^6$ Па, $\beta=0,044$ [2]), слагаемым $A_r \tau_0$ пренебрегаем, в результате пропадает необходимость определения A_r .

В случае параболического профиля интеграл

$$\int_0^h F_{5/2} \left(\frac{\delta}{\sigma} \right) dx = \int_0^{B_i} F_{5/2} \left(\frac{\delta_{min}}{\sigma} + x^2 \frac{H_i}{\sigma B_i^2} \right) dx$$

с помощью подстановки

$$a = \frac{x}{B_i} \sqrt{\frac{H_i}{\sigma}} \quad (22)$$

может быть преобразован к виду

$$= B_i \sqrt{\frac{\sigma}{H_i}} \int_0^{\sqrt{\frac{H_i}{\sigma}}} F_{5/2} \left(\frac{\delta_{min}}{\sigma} + a^2 \right) da \quad (23)$$

Для достаточно «выпуклых» профилей функция $F_{5/2}$ у краев кольца обращается в 0 и предел интегрирования не имеет значения. Функция $F_{5/2}$ становится пренебрежимо мала, уже когда расстояние между поверхностями превышает шероховатость в три раза, а высота профиля современных бочкообразных колец, как правило, более чем в 10 раз превышает шероховатость. Это позволяет заменить предел интегрирования B на бесконечность

$$\int_0^h F_{5/2} \left(\frac{\delta}{\sigma} \right) dx = B_i \sqrt{\frac{\sigma}{H_i}} \int_0^{\infty} F_{5/2} \left(\frac{\delta_{min}}{\sigma} + a^2 \right) da = B_i \sqrt{\frac{\sigma}{H_i}} f_p \left(\frac{\delta_{min}}{\sigma} \right), \quad (24)$$

где

$$f_p = \frac{1}{\sqrt{2\pi}} \int_0^{\infty} \int_{\frac{\delta_{min}}{\sigma} + a^2}^{\infty} \left(s - \frac{\delta_{min}}{\sigma} - a^2 \right)^{\frac{5}{2}} e^{-\frac{s^2}{2}} ds da \quad (25)$$

Функция f_p для увеличения скорости счета аппроксимируется зависимостью

$$f_p(x) = \begin{cases} e^{-88,484+62,402 \ln(9-x)-10,265 \ln^2(9-x)} & 0 \leq x < 2 \\ e^{-42,65+21,634 \ln(8-x)-0,63506 \ln^2(8-x)} & 2 \leq x < 4 \\ 0 & x > 4 \end{cases} \quad (26)$$

Наибольшая погрешность аппроксимации 1,4 %, средняя – 0,7 %.

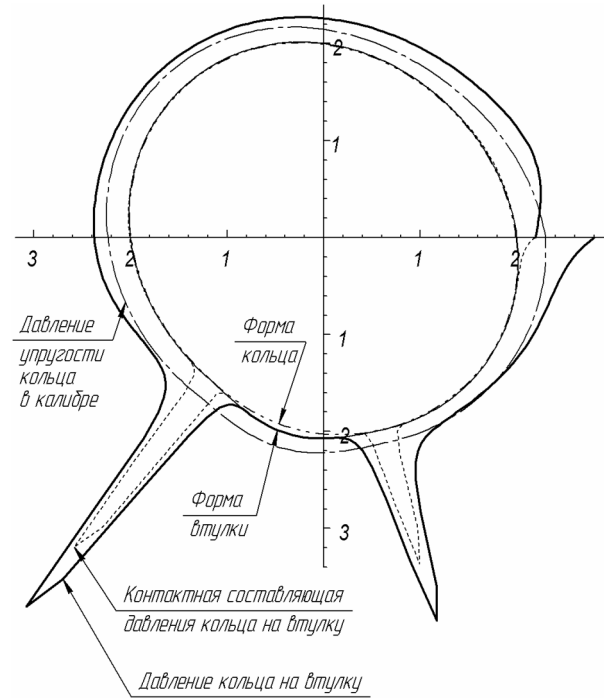


Рис.3. Результаты тестового расчета для первого поршневого кольца двигателя 12ЧН18/20 в цилиндре с отклонениями формы. Масштаб деформаций $I=400$ мкм, масштаб усилий $I=0,5$ МПа. Перемещения откладываются от окружности радиусом 2, давления от линии кольца

На рис.3 изображена расчетная эпюра давлений первого поршневого кольца двигателя 12ЧН18/20 в цилиндре с овальностью 0,1 мм и локальным дефектом - впадиной глубиной 0,04 мм и протяженностью 45°. Основные исходные данные: угол поворота коленчатого вала $\alpha=30^\circ$, коэффициент динамической вязкости масла $\mu = 0.00247$ Н*с/м², толщина слоя масла = 15 мкм, давления газов: над кольцом 5,5 МПа, за кольцом 5,5 МПа, под кольцом 5,4 МПа, приведенная шероховатость кольца и втулки 1 мкм.

Выполненные предварительные расчеты для компрессионных и маслосъемных колец двигателя 12ЧН18/20 показали, что овальность цилиндра не оказывает значи-

тельного влияния на режим и силу трения кольца, если не образуется зона просвета. В случае появления просвета на его краях наблюдаются пики давлений (рис.3), которые обуславливают граничное трение, увеличение износа и сил трения.

Наиболее значительные просветы в деформированном цилиндре образуются в районе замка кольца, при этом просветы значительно увеличиваются при пониженном давлении упругости кольца в районе замка.

Наличие в решении локальных пиков давления согласуется с представлениями работы [1], но свидетельствует о том, что в уточненных расчетах необходимо гидродинамическую задачу решать в двумерной постановке и применять модифицированное уравнение Рейнольдса, учитывающее влияние выступов шероховатости на течение масла.

Список литературы

1. Гинцбург Б.Я. Теория поршневого кольца. М.: Машиностроение, 1972. – 271с.
2. Крагельский И.В., Михин Н.М. Узлы трения машин. Справочник. М.: Машиностроение, 1984. – 280 с.
3. Мохнаткин Э.М. Расчетное определение толщины масляного слоя в районе замкового стыка поршневого кольца // Двигателестроение, 1999. №3. - с.21-24.
4. Albin Mierbach Radialdruckverteilung und Spannbandform eines Kolbenringes, Motortechnische Zeitschrift (MTZ) 1994, Vol. 55, № 2 , p.116-119.
5. Dowson D. et al. Mixed lubrication of a cam and flat faced follower. Proc. The 13th Leeds-Lyon Symposium on Tribology, 1986, Elsevier Science, p.599-609.
6. Toshiro Hamatake et al. Studies on the Mixed Lubrication of Piston Rings. Bulletin of the marine engineering society of Japan, Vol. 28, No. 2, October 2000, p. 9-18.

INTERACTION BETWEEN A PISTON RING AND A DEFORMED CYLINDER LINER OF THE INTERNAL COMBUSTION ENGINE

© 2006 A.S. Stolyarov

The pressure distribution of piston rings against the liner wall is significant for their performance in the running engine. Hence, a program has been developed for numerical calculation of the pressure distribution and the gaps between a piston ring and a cylinder liner. The model takes into account: the shape of the cylinder liner and the piston ring, both the hydrodynamic and asperity interaction and the oil starvation.